

大阪大学大学院 学生員 山口博章
 大阪大学工学部 正員 小松定夫
 大阪大学工学部 正員 奈良敬

1. まえがき 当研究室においては既に、面内ひずみ一定の三角形要素を用いて有限要素法による弾塑性有限変位解析法を開発し、初期不整を有する鋼板の面内純圧縮応力および面内曲げ圧縮応力下における極限強度特性を明らかにしてきた。^{1), 2)} 本研究においては、組合せ応力下における鋼板の弾塑性有限変位挙動を明らかにするために、新たに変位関数がエルミット多項式で与えられる長方形有限要素による弾塑性有限変位解析法 定式化を行った。本解析法は従来の解析法と比較して、①全要素数が減少する。非線形計算では繰り返し計算を行うので、全要素数の減少が計算時間の短縮につながる。②面内線形ひずみ要素を用いていよいよ、高次の自由度を導入することなく面内問題の精度を上げることが出来る。③要素を解析対象物と相似にすることが出来るので現象から易い、などの利点が挙げられる。今回、本解析法の概要を述べると共に、面内純圧縮応力および面内曲げ圧縮応力状態における鋼板について行った數値計算結果について報告する。

2. 解析手法 解析対象として鋼材は、等方等質性であり、von Mises の降伏条件および Prandtl - Reuss の塑性流动理論に基づく完全弾塑性体であると仮定した。非線形計算においては、Newton-Raphson 法と修正増分法を併用した反復法を用いている。変位関数はエルミット多項式を用いて次式で与えている。³⁾

$$u(x, y) = \sum_{i=1}^3 \sum_{j=1}^3 H_{ij}^{(i)}(x) \cdot H_{ij}^{(i)}(y) \cdot u_{ij}$$

$$v(x, y) = \sum_{i=1}^3 \sum_{j=1}^3 [H_{ij}^{(i)}(x) \cdot H_{ij}^{(i)}(y) \cdot v_{ij} + H_{ij}^{(i)}(x) \cdot H_{ij}^{(i)}(y) \cdot v_{xij}]$$

$$w(x, y) = \sum_{i=1}^3 \sum_{j=1}^3 [H_{ij}^{(i)}(x) \cdot H_{ij}^{(i)}(y) \cdot w_{ij} + H_{ij}^{(i)}(x) \cdot H_{ij}^{(i)}(y) \cdot w_{xij}]$$

$$+ H_{ij}^{(i)}(x) \cdot H_{ij}^{(i)}(y) \cdot w_{yij} + H_{ij}^{(i)}(x) \cdot H_{ij}^{(i)}(y) \cdot w_{xyij}]$$

ここで、添字 i, j は図-1 に示す長方形要素の節点 (i, j) を表す。鋼板全体の剛性方程式から得られた節点変位により生ずる不釣合の力をつけては、Murray-Wilson の移動座標の概念を導入し、全変位から剛体移動および回転 γ より変位を取り除いた正味の変位から求めている。この解、反復計算によ

る解の収束を早めるために非線形項を考慮して、不釣合の力を算定している。要素の変形後の局所座標系は次の様に決定される。図-2 に示すように変形後の要素の節点 i, j, k, l で形成される四角形の各辺の中点を P, Q, R, S とする。 PQ と QS の交点の原点とし、 OQ 上に x 軸をとる。 OP と OR の両方に直角に y 軸をとり、最後に x 軸と y 軸から z 軸を決定する。この局所座標系を全体座標系に変換するマトリックス L は、全体座標系における局所座標系の座標軸の方向余弦によつて与えられる。

3. 数値計算例 解析モデルは周辺單純支持の正方形板とした。初期不整の導入にあたっては次の仮定を行った。残留応力については、図-3 に示すような自己平衡の分布形をとる。 x 軸方向および板厚方向を一定とする。初期不整のみは次の三角関数で与えよ。 $w_0 = \bar{w}_0 \cdot \sin(\pi x/a) \cdot \sin(\pi z/a)$ ここで、 \bar{w}_0 は中央点における初期不整のみである。

(1) 純圧縮応力状態での数値計算例 解析モデルの諸元を表-1 に示す。残留応力は $\sigma_{rc} = -\bar{\sigma}_y/3$ 、 $\sigma_{rt} = -2\sigma_{rc}$ とす

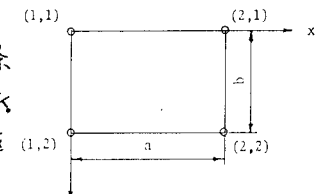


図-1 長方形要素

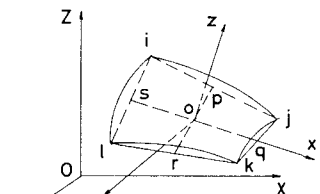


図-2 全体座標系と局所座標系

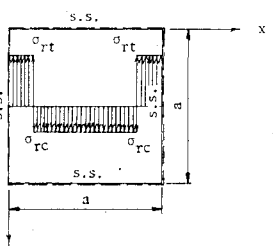


図-3 残留応力分布

表-1 解析モデルの諸元

	σ_y (kN/cm ²)	E (kN/cm ²)	v	a, b (cm)	b/t	\bar{w}_0/t
Type I	6000	2.1×10^4	0.316	48.0	48.0	0.1
Type II	2400	2.1×10^4	0.300	40.0	40.0	0.1

表-2 メッシュ分割と最大平均圧縮応力

	N	3	4	5	6	8
Type I	$\sigma_{rc} = 0$	0.662	0.645	0.637	0.635	0.630
	$\sigma_{rc} = \bar{\sigma}_y/3$	0.612	0.598	0.561	0.556	0.552
Type II	$\sigma_{rc} = 0$	0.985	0.979	0.977	0.976	
	$\sigma_{rc} = \bar{\sigma}_y/3$	0.979	0.968	0.961	0.955	0.953

之K。メッシュ分割と最大平均圧縮応力度 ($\bar{\sigma}_{max}/\sigma_r$) の関係を表-2に示す。この表から、モデルType IとType IIを残留応力の有無と関係なく $N=6$ で十分な精度が得られるものと思われる。次に平均圧縮応力度 ($\bar{\sigma}$) と板中央点でのひずみ (ϵ_c) の関係をモデルType Iの場合について図-4に示す。残留応力の無い場合の弾性領域内ではCraanの級数解に良く収束している。面内ひずみ一定の三角形有限要素による解析法と呼ぶ)による結果と比較するとわずかではあるが差がある。

板中央面での応力度分布を図-5に示す。変位増分法を用いてひずみ場反復計算の際に平衡状態に達して荷重応力度に達いかどうか、三角形要素による解析法の結果と一致しないが、同じ挙動を示していよいの助かり。

(2)曲げ圧縮応力状態での数値計算例 解析モデルは周辺単純支持の正方形板に応力勾配 $\theta = 1.0$ の曲げ圧縮応力を作用するものとする。ここで、応力勾配は、最大繊維応力を σ_x 、最小繊維応力を σ_y とするとき式で与えられる。 $\theta = (\sigma_x - \sigma_y)/\sigma_z$ 。残留応力については、 $\sigma_{rc} = -0.4\sigma_y$ 、 $\sigma_{xy} = 0$ とした。また、粗いメッシュ分割で精度の向上をはかるために不等分割を考へた。Type Iの極限状態でのひずみが最も大きくなる最大圧縮応力が作用する端部から $1/3$ 高さ附近でメッシュ分割を細くした。Type IIは最大圧縮応力が作用する端部附近近くにてメッシュ分割を細くした。メッシュ分割と最大平均圧縮応力度 ($\bar{\sigma}_{max}/\sigma_r$) の関係を表-3に示す。この表からメッシュ分割は不等分割Type IIで 4×4 、等分割では 3×10 で十分精度の良い結果が得られるものと思われる。板中央部での応力度分布を図-6に示す。極限状態で、板中央附近で応力が著しく集中する挙動を示している。この挙動は三角形要素による解析法の結果でもみられる挙動であり両者が一致する。

4. 結論 ①純圧縮応力を受けた正方形板の解析結果から i) メッシュ分割は 6×6 で十分な精度が得られる。ii) 三角形要素による解析法と同じメッシュ分割で板中央点でのひずみおよび板中央断面での応力度分布の挙動が一致した。②曲げ圧縮応力を受けた正方形板の解析結果から i) メッシュ分割は等分割で 5×10 、不等分割Type IIで 4×4 で十分な精度が得られる。ii) 残留応力を有する場合は、極限状態において板中央附近で膜応力が著しく集中する挙動が観察された。なお、数値計算例の詳細については、講演当日に発表する予定である。

あとがき 解析プログラムの作成および数値計算における協力者頂いた当所本学大学院生の宇都敏雄氏(現在、日本道路公団勤務)に謝意を表します。

- 参考文献 1) 小松・北田・吉崎: 残留応力のない初期ひずみを有する圧縮板の弾塑性解析、土木学会論文報告集、第244号、1973年12月、PP1-14
 2) 小松: 初期ひずみを有する鋼板の屈曲を考慮下における極限强度特性に関する研究、大阪工業技術研究所報告、昭和55年8月
 3) Bogner, F.K., P.L. Fox and L.A. Schmit Jr.: The generation of Interelement-Compatible Stiffness and Mass Matrices by the use of Interpolation Formulas, Proc. Conf. on Matrix Methods in Structural Mechanics, Wright-Patterson A.F.B., Ohio, 1968, pp.7-193
 4) J.M. Craan; Large-Deflection Theory for Plates With Small Initial Curvature Loaded in Edge Compression, J. of Applied Mech., Vol. 18, No. 2, June, 1951

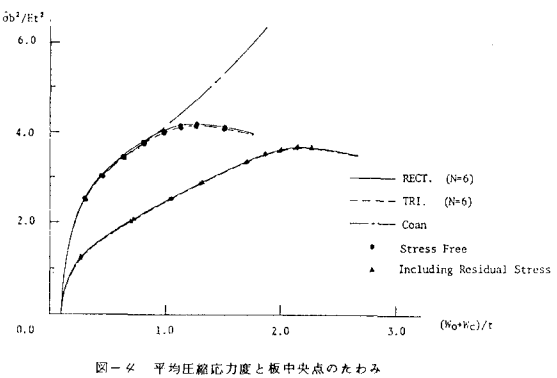


図-4 平均圧縮応力度と板中央点のたわみ

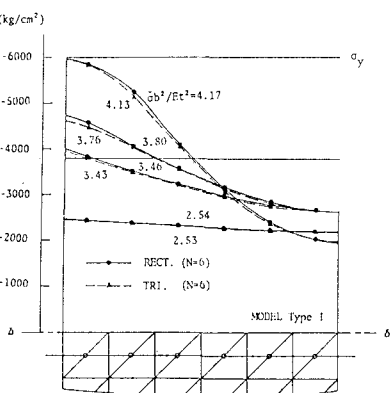


図-5 応力度分布

表-3 メッシュ分割と最大平均圧縮応力度	MESH			
	3x6	4x8	5x10	
等分割	$\sigma_{rc} = 0$	0.566	0.552	0.546
	$\sigma_{rc} = -0.4\sigma_y$	0.593	0.579	0.574
Type I	$\sigma_{rc} = 0$	0.581	0.558	0.544
	$\sigma_{rc} = -0.4\sigma_y$	0.596	0.582	0.576
Type II	$\sigma_{rc} = 0$	0.565	0.548	0.543
	$\sigma_{rc} = -0.4\sigma_y$	0.595	0.574	0.569

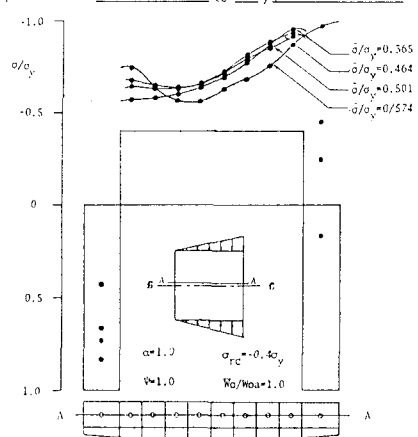


図-6 応力度分布